

(19)
(12)

(KR)
(A)

(51) 。 Int. Cl. ⁷
G02F 1/1335

(11)
(43)

2003 - 0028726
2003 04 10

(21) 10 - 2002 - 0060222
(22) 2002 10 02

(30) JP - P - 2001 - 00306039 2001 10 02 (JP)
JP - P - 2002 - 00187146 2002 06 27 (JP)
JP - P - 2002 - 00248385 2002 08 28 (JP)

(71) 가 가 가 22 22

(72) 가 가 5 - 112

5 - 5

(74)

:

(54)

1 (100A) , 2 (100B) , 1 (100A) 2 (100B) (30) ,
Px , 1 (100A)
Tr , 2 (100B)
Rf , 2 (100B) , Tr Rf
(24) . Rf (24) 가, Tr
(24) .

| | | | | | | | |
|------|------------|-------|-------------|--------|----------------------------------|------------|---------------------|
| 1 | | | | | | | |
| 1 | | 1 | (100) | | | | |
| 2 | | 1 | (100) | | | | |
| 3 | | 1 | (100)가 | | (100B) | | |
| | | 3 (a) | | 3 (b) | | | |
| 4 | (a) (c) | | 1 | (100)가 | | (100B) | |
| 5 | | 1 | (100) | | | (100B) | |
| 6 | (a) (b) | | 1 | (100) | | | |
| 7 | | | (100)가 | | (24) | | 가 |
| 8 | (a) (d) | | 1 | (100) | | | |
| 9 | | 1 | (100)가 | | (100B) | | |
| 10 | | (22) | 100 μ m | | 100 μ m \times 100 μ m | | 20 μ m \times |
| | 20 μ m | | d_J/d_T | | $d_{R'}/d_T$ | | |
| 11 | (a) (b) | Rf | | (22) | | | |
| 12 | | 2 | (200) | | | | |
| 13 | (a) | | (700A) | | 가 | | |
| | (700) | | | 13 (b) | 13 (a) | 13B - 13B' | |
| 14 | | (%) | | (%) | | | |
| 15 | | 2 | (200') | | | | |
| 16 | | 2 | (200') | | | | 15 16A - |
| 16A' | | | | | | | |

() 가 50%

가

가

가

가

가
가

1

2

2000 - 111902

2000 - 111902

가

가

가

가

, 1 , 2 , 1 , 2

, , , 1
 , 2 ,
 가 , 2 , 가,
 , 가 , .
 2 , , .
 , .
 .
 가,
 .
 1 가, 1
 .
 2 , ,
 가,
 2 , ,
 1 , , 1 ,
 1 가 1 .
 , .
 , 가,
 () , 가 , , ,
 가) 가 , , , 가 (, ,
 , , , 가,
 () , , , 가
 , , , 가
 , , , .

가 , , 가
 가 ,
 가, ()
 2 가
 1 / 2 (가) ,
 , 1
 2 () , ()
 , 2 1 가
 , 1 1
 가 , 1
 (가)가 ,
 가 , 1 () ,
 , 「 」 「 」 「 」 , 가 ,
 「 」 () 가 .
 (T
 FT)
 , MIM
 (1)
 , 1 2 , 1 (100) 1
 (100) , 2 (100)
 「 」 , 「 」
 1 (100) , (1)(100A) , (2
)(100B) , (30) , (100) ,
 (19, 29) , (100A) () (40)
 Px Tr (100) , 1 2 ,
 Rf 가 ,

(100) Tr , (100A) , (30) 가 Rf ,
 (100A) , (30) 가
 (100A) , () (10) , (10) ,
 TFT(), TFT ()
 (100A) , 1 Tr (12) , R
 f (13) (12) (13) , TFT (1
 2) (13) (12) , ITO ,
 (13) ,
 (100A) (13) , () (15)
 (100A) (17) (30) (16) (30)
 , 1 , (15) , (15)
 (100A) ,
 (100A) ()
 (20) (100) (100B) , 1 ()
 (30) (22) (24)
 0) (22) , 1 Rf , (2
 (24)
 (24) , (24)
 (26) (24) , (R), (G) (B) , (24)
 2) Tr (24) (24) , Rf (24) 가, (2
 (24) d_R , (22) (24)
 , (100B) , (30) 가 (28) (28) ,
 (28) , (24) (30)
 (100A) (100B) (30) , (32)
 () Rf , Rf (30) D_R Tr D_T
 , Rf D_R Tr D_T 1/2
 , (100) (100) (100A) ,
 (100B) , 3 (a) 3 (b) 4 (a) 4 (c) ,
 , 3 (24)

f, 3 (a) 3 (b) (20) (22) R
 (22)

(20) 가 (가 1.4 μ m가 가

3 (a) 3 (b) (22)

(22) 3 (b) (22)

4 (c) (22) (20) (24)
 (24)

4 (a) (20) 1 () (24a)
 (24a') (22) (24a') d_R 4 (a) (20)
 (24a') (24a') d_T (22)
 a') (24a') d가 0.7 μ m (20) (24a') 4 (a) (24)

4 (b) (24a') 1 (24a)

가 4 (c) 2 () (24b)
 2 (24b) 3 (24c) 3 (24c) (24)

28) (24) (ITO) ((100B)

(100B) (100A)
 (30)

(100B) (22) (100B) (100A)
 (22) Tr Rf

(100B) (100A) 가
 (100)가

(100B) ()
 Tr (22) (

(22)) , 2 (22) Tr (22)

(100) , Tr , (100A) ()
 (40) 가 (40)
 (24) 1 , Rf ,
 () (100))
 가 (13) ,
 (24) 2 .

(100) , Rf (24) 가, T
 (24) () , Rf 가 ,
 (24) Rf 1 Rf
 (100) , Tr Rf 가 , , 가 () 가

(24) Tr D_R Rf D_T , (24)
 , Tr 가 (가)
 , 가 ()가 ()가
 , 가 가

4 (c) , (22)
 , 5 , (22)
 , Rf (22)

(100) , (22) , 6 (a) , 가 70μm x
 100μm , 20μm,
 140μm . 85μm x 250μm .

6 (a) (22) (100B) Tr Rf
 Rf 2 (x, y) (Y) 1 , 1 ,
 (R), (G), (B) 3 (x, y) (Y) , , xy

[1]

| | R | G | B | W | |
|-------|---------------|---------------|---------------|--------------------|--------|
| | x/y | x/y | x/y | x/y Y | |
| | 0.4472/0.2788 | 0.3175/0.4496 | 0.1756/0.2462 | 0.2965/0.3262 50.1 | 0.0253 |
| (2) | 0.4491/0.2779 | 0.3179/0.4518 | 0.1695/0.2397 | 0.2964/0.3269 48.6 | 0.0268 |

1 , Tr , Rf 1 : 1.06
 , Tr (Y) , Tr (Y) , Rf (Y)가
 , 6 (b) , Rf 가 10μm x 100μm (22)
 15μm 3 (x, y), (Y)
 2 .

[2]

| | R | G | B | W | |
|-------|---------------|---------------|---------------|--------------------|--------|
| | x/y | x/y | x/y | x/y Y | |
| | 0.4472/0.2788 | 0.3175/0.4496 | 0.1756/0.2462 | 0.2965/0.3262 50.1 | 0.0253 |
| (2) | 0.4475/0.2779 | 0.3179/0.4502 | 0.1721/0.2452 | 0.2964/0.3263 49.9 | 0.0258 |

2 , Tr Rf
 1 : 1.02 , Tr Rf 가, 6 (a)
 (22) , 2
 , Tr (Y) , Rf (Y)가 6 (a)
 , (100) , 2000 - 111902)
 7 , (100)가 (24) 가 Y
 , (NTSC)
 , NTSC xy (R), (G), (B) 3 (SA/S)
 S , (x : 0.670, y : 0.330), (x : 0.210, y : 0.710) (x : 0.140, y : 0.080) 3
 SA , 3
 , (100)가 (24)
 가 (x : 0.670, y : 0.326),
 (x : 0.286, y : 0.648), (x : 0.131, y : 0.120), NTSC 79.9%, Y 22.9
) (7 PO).
 7 , 가 , P0, P1, P2, P3, P4, P5,
 P6, P7 , 5% 가
 . 7 가 , 가
 가 , Y , (NTSC)가

(22) , 8 (a) 8 (d) , Rf (22) ,
 8 (a) , Rf (22) ,
 8 (b), (c) (d) , Rf (22) (24) 가
 9 , Rf (22) (24) 가
 ($d_{R'}$) , (22) (24) 가
 ($d_{R''}$) .
 (24) , Rf (22) (22)
 (24) 가 (24) 가 , (22)
 , (22) (24) 가 .
 (24) (22) , 3, 4 10 , (22)
 , (22) (24) .
 3 , Rf (22) (d_J Rf (22)
) , (22) (22) d_J , (22)
 (24) $d_{R'}$ (24) , T_r Rf 가 1 : 1 ,
 T_r (24) d_T 가 1.2 μm 가 (24)
 , 3 30 μm , (22) 30 μm × 30 μm , 5
 0 μm 72 μm 가 .
 , 4 , (22) 70 μm × 100 μm , (22) d_J
 T_r , (24) d_T (22) d_J d_J/d_T ,
 d_T T_r (24) d_T (22) (24) $d_{R'}$ $d_{R'}/$
 , 4 , T_r (24) d_T
 .
 10 , (22) , 100 μm , 100 μm × 100 μm 20 μm ×
 20 μm d_J/d_T $d_{R'}/d_T$.

[3]

| (%) | | d_J (μm) | $d_{R'}$ (μm) |
|-----|------------------|-------------------------|----------------------------|
| 30 | 30 μm | 0.8 | 0.58 |
| 30 | 30 μm | 1.2 | 0.42 |
| 30 | 30 μm | 1.6 | 0.20 |
| 52 | 50 μm | 0.8 | 0.73 |
| 52 | 50 μm | 1.2 | 0.62 |
| 52 | 50 μm | 1.6 | 0.45 |
| 87 | 72 μm | 0.8 | 0.84 |
| 87 | 72 μm | 1.2 | 0.71 |
| 87 | 72 μm | 1.6 | 0.53 |

[4]

| | | | | |
|-----------|------|-----|-----|-----|
| d_J/d_T | 0.5 | 1.0 | 1.5 | 2.0 |
| d_R/d_T | 0.85 | 0.7 | 0.6 | 0.5 |

3, 4 10 , (24) (22)
 , (22) d_J , (22) (24) $d_{R'}$
 , (1) (3) .

(1) (22) d_J 가 , (22) (24) $d_{R'}$.

(2) R_f (22) , (22) (24) $d_{R'}$.

(3) R_f (22) () , R_f 1
 (22) (22) , (22) R_f (22) ,
 (22) (24) $d_{R'}$. , (22) (22)
 () , (22) 가 , , (22) (22)
 , (22) 가 (24) $d_{R'}$. , 11 (a)
 가 (22) , 11 (b) 가 ,
 (22) (24) $d_{R'}$.

(1) (3) , (22) , ()
 22) (24) $d_{R'}$.

1 (100) , Tr (30) D_T 가, R_f (30)
 D_R () , , R_f (30) D_R ,
 Tr (30) D_T 1/2 .

13) , (100B) , (30) , ()
 , (30) R_f (30) D_R , (100B) Tr (24) D_T 1/2 (30) 2
 . ,

R_f (30) D_R , (100) Tr (30) D_T 가,
 가 D_R , Tr 가 , R_f

Tr (30) d_T , R_f (30) d_R , ,
 (100) .

, (100B) .

, (20) (22) 가 $0.7\mu m$ 가 , ,
 (22) (24) , (22)
 (24) 가 $0.7\mu m$ 가 . , (22) (24)
 $0.6\mu m$.

(22) , (22) (24) 가 0.35 μ m , (24)
 (22) (24) , (22) (24)
 d , 0.35 μ m . , (28) , (100B)
 .
 (100B) , Rf 가
 (100A) .
 Rf
 (15) , , (15) (15)
 . (15) D_I()가 2.1 μ m
 (15) .
 , (15) (13) . (15)
 (13) , .
 , (100B) (100A) , Rf 2.5 μ m
 , , 2.5 μ m () .
 (100) , Rf (30) D_R
 , 2.5 μ m . , Tr Tr (30n) D_T , 4.95 μ m(=D_R
 +D_I+ d 2.5+2.1+0.35) . , Tr (30) D_T Rf
 (30) D_R 2 : 1 .
 , Tr Rf (30) 가 ()
 100)가 .
 (2)
 12 , 2 (200) . 2
 (200) , (200A) 1 (100) .
 , 1 (100) .
 12 , 2 (200)가 (200A) , Tr
 (30) , Rf (30) 가
 .
 , (200)가 (200B) , Rf (30) 가,
 Tr (30) Rf (24)
 (22) (24) ()가, Tr (200B) Rf
 () (30)) , , (22) , Rf () Rf
 f Rf 가 . , 1 Rf
 Rf (22) .
 2 (200) , .

(200B) (20) (22) 가 3.2 μ m
 (24) (22) 가 1.4 μ m
 (24) (22) (24) , 0.7 μ m
 2.5 μ m .

Tr (30) Rf (30) 가
 (200A) Rf Tr
 8 : 2 (200A) (100A)
 1 (100) (100A)
 (13) .

(200B) (200A) , Rf 2.5 μ m
 Rf 2.5 μ m , 2.5 μ m
 2.5 μ m (24) 2.5 μ m 5.0 μ m . Tr ,

(200) Rf (30) D_R 2.5 μ m ,
 Tr (30) D_T가 5.0 μ m . Rf (30) D_R Tr
 (30) D_T 1/2 , Rf , D_R Tr
 가 , , 1
 (100) 가 , Tr Rf , 가 가

(200) , (200A) Tr ,
 Rf Tr 가 (200B) Rf 가
 Tr (30) D_R Tr (30) D_T . (200) ,

(200) , (200A) Rf ,
 (200B) Rf (30) .

(200) , (200A) Rf
 Tr (100B) Rf (15) () 1 가 ,
 (200)

(200) , (200B)

13 (a) 13 (b) , (700A)
 가 (700) (700) 13 (a)
 13B - 13B' , 13 (b) , 13 (a)
 (700A)

(700A) , (13) , (15) , (12)
 (15) (15a) , (15) (15a)
 (15s) , (15s) (13) .
 (15s) (13) , (15s) , (15s)
 Rf , , 45° ,
 (15s) (13) , (15s) U .
 가 , , Rf
 Tr 가 72 : 28 , U가 () 8% Tr ()
 58.0%, 22.7% , U가 () 8% .
 U , Tr U 14 ,
 Tr (%) , U (%) .
 14 , U 23% U 8% ,
 U 51% , U 25% , ,
 U , 12 (200) , (200B) ,
 , () , , ,
 , () , 가
 15 16 , (54) , (200')
 15 (200') , 16 15 16A - 16A'
 (200')가 (200A') , (10) , (10)
 TFT(50) , TFT(50) , (51), (52) () (12)
 (13)) . (200A') (53) (54)
 TFT(50) , (51) (54) , ,
 (200A') (55) . (55) , TFT(50)
 () , (52) , (53) , (56)
 (56) TFT(50) (53)
 , (200A') (15) ,
 (15) (12) (13) , (1
 5) (53) , , (53)
 (56) , TFT(50) .

2) (13) (54) (13) (1
 (15) (13) (15) (13) (12)

(200') , 12 (200B') (200) 가 (200A')
 (54) () (13)
 Rf (54)

(3)
 17 , 3 (300) 3
 (300) , (22') , 2 (200) (2
 00) , 2

3 (300)가 (200B) , (22')
 (22') , 2 (200) 가 Rf (22')

() (22') , 1.49
 가 2.8 μ m (22') 1.40 가 20wt% (haze) () 60
 %

Rf (300) , (22') (22') 가 가

(22') , 17 (13)

(13) Rf (30) D_R 가
 가 (13)

(13) 가 가 (22')

가 (22') 가 (13)
 Tr (22') Rf Rf

가 . ' , , 가
 , , 가 , 가
 , , 가 . ' ,
 가가 , . '

(57)

1.

1 , 2 , 1 2 ,
 , 1
 , 2 ,
 2 , ,
 가,

2.

1 ,
 2 , , .

3.

2 , , .

4.

2 , .

5.

1 ,

가,

6.

5 ,

1

가,

1

7.

2 ,

2

가,

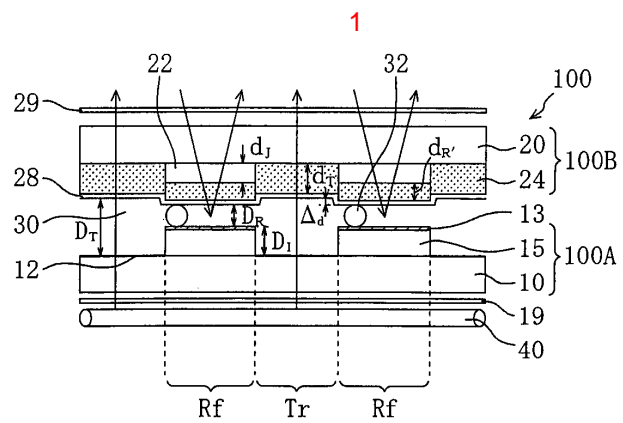
2

가,

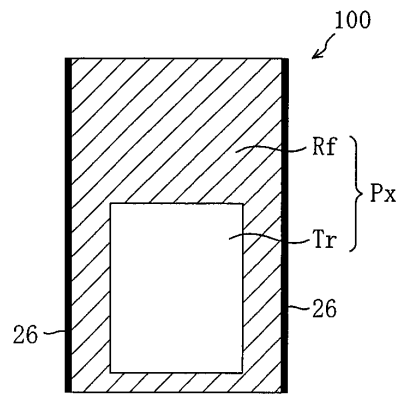
2

가
1

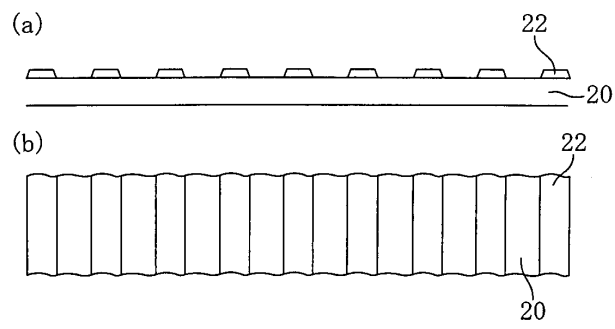
1



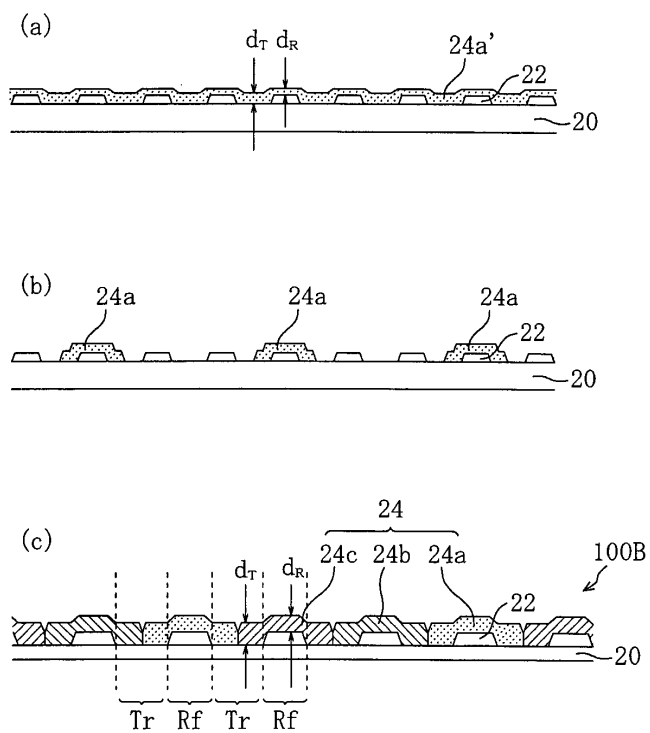
2



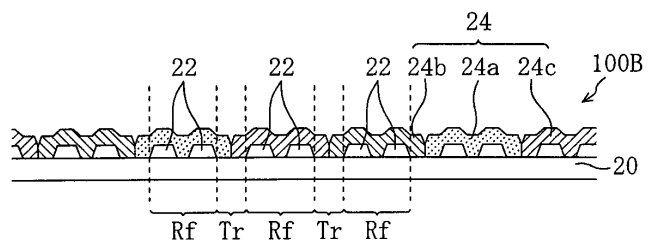
3



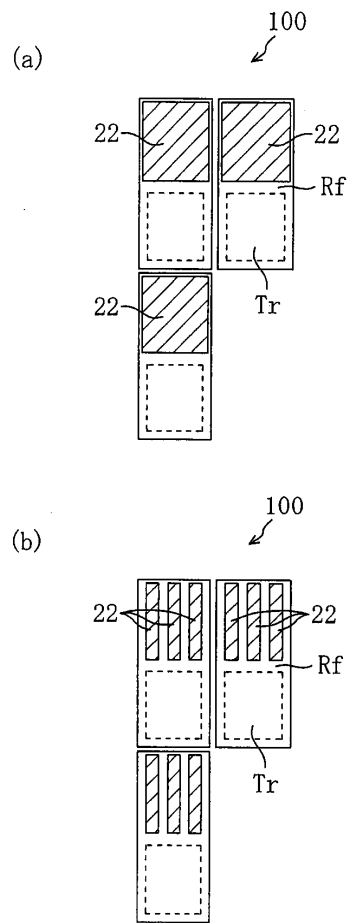
4



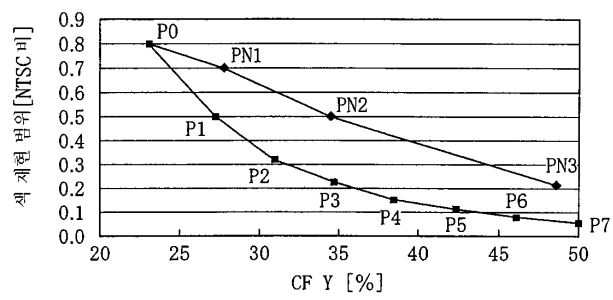
5



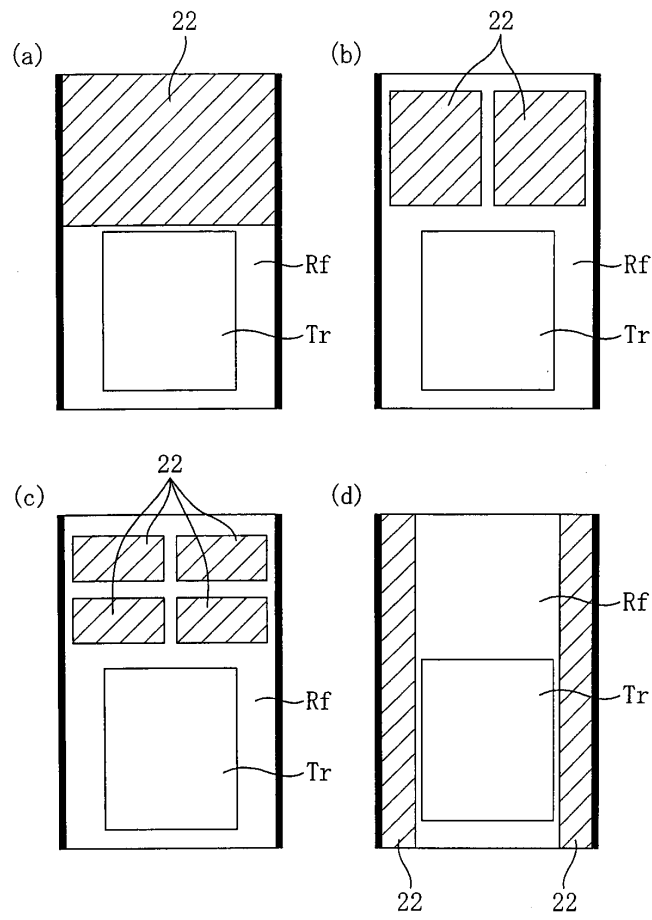
6



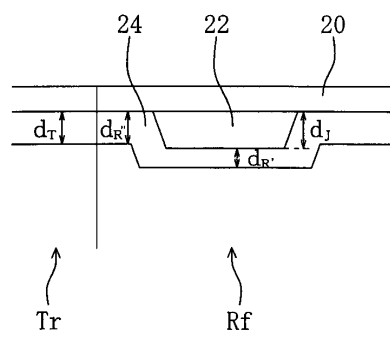
7



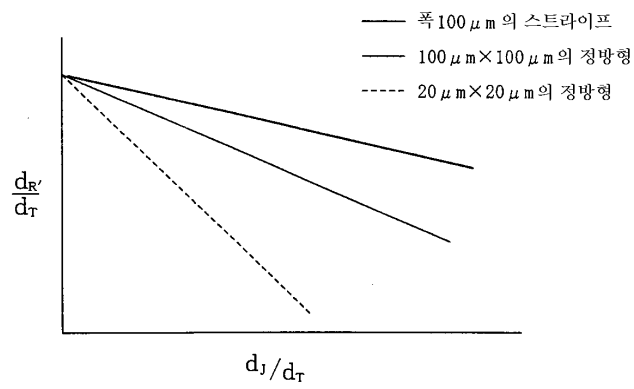
8



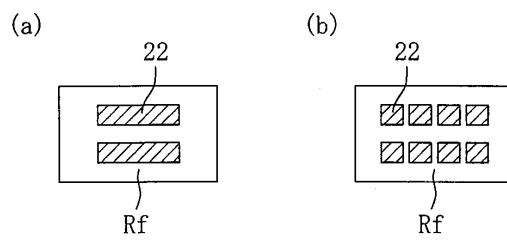
9



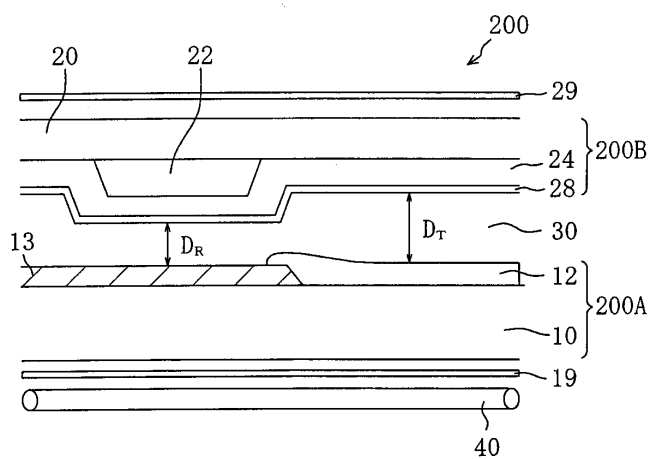
10



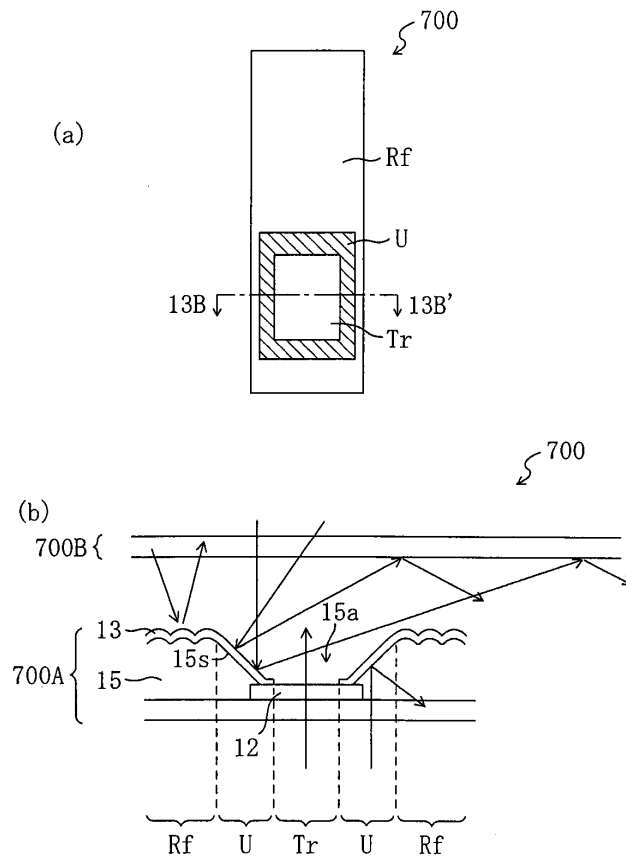
11



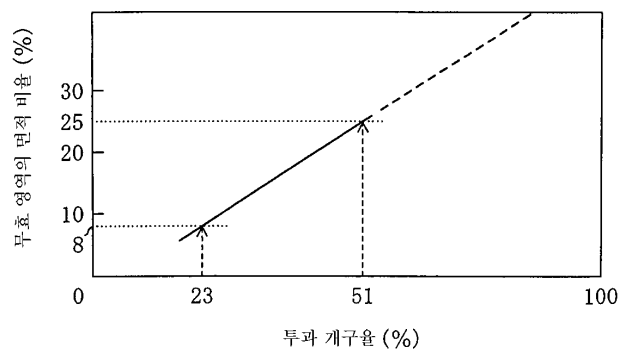
12



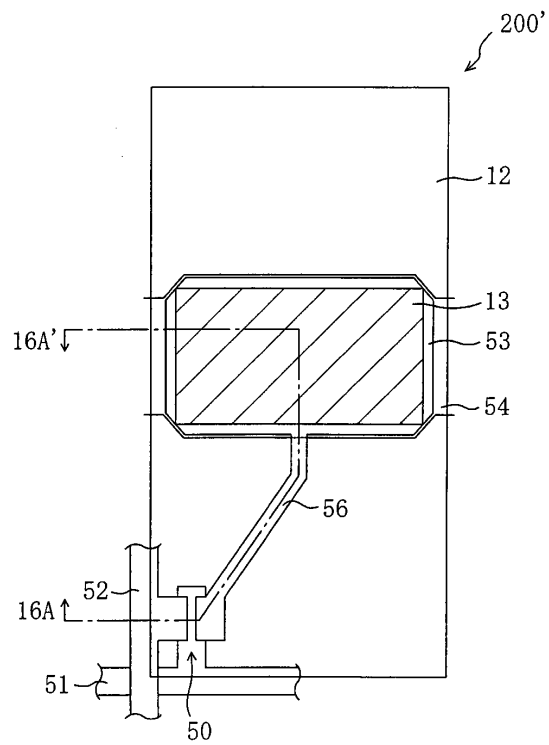
13



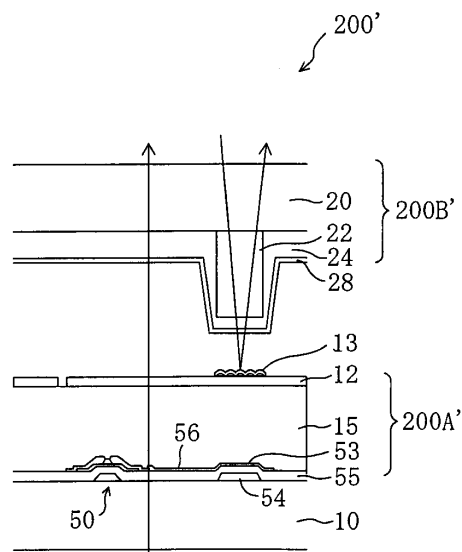
14



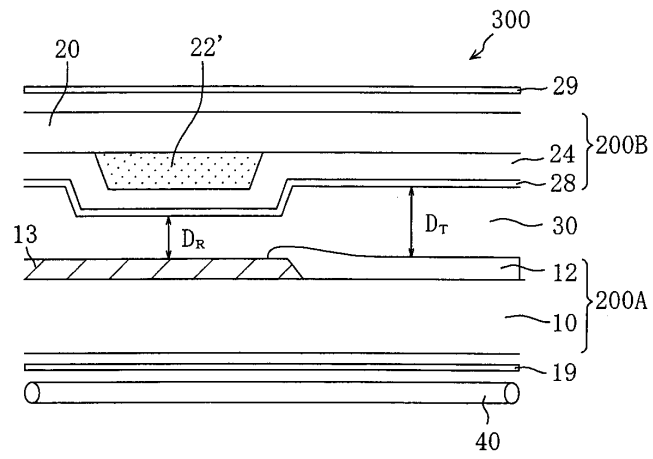
15



16



17



| | | | |
|----------------|--|---------|------------|
| 专利名称(译) | 液晶显示器 | | |
| 公开(公告)号 | KR1020030028726A | 公开(公告)日 | 2003-04-10 |
| 申请号 | KR1020020060222 | 申请日 | 2002-10-02 |
| [标]申请(专利权)人(译) | 夏普株式会社 | | |
| 申请(专利权)人(译) | 夏普株式会社 | | |
| 当前申请(专利权)人(译) | 夏普株式会社 | | |
| [标]发明人 | FUJIMORI KOHICHI 후지모리고히찌 NARUTAKI YOZO 나루따끼요조 | | |
| 发明人 | 후지모리고히찌 나루따끼요조 | | |
| IPC分类号 | G02F1/1333 G02F1/1335 | | |
| CPC分类号 | G02F1/133371 G02F1/133553 G02F2203/09 G02F1/133514 G02F1/133555 | | |
| 代理人(译) | CHANG, SOO KIL | | |
| 优先权 | 2001306039 2001-10-02 JP 2002187146 2002-06-27 JP 2002248385 2002-08-28 JP | | |
| 其他公开文献 | KR100529264B1 | | |
| 外部链接 | Espacenet | | |

摘要(译)

本发明提供一种液晶显示装置，其在透射区域和反射区域都是明亮的，并且可以实现高色纯度的显示。在第一衬底（100A）和第二衬底（100B）和第一衬底（100A）和第二衬底（100B）的多个像素区域的具有液晶形成之间层30，用于执行显示Px的和液晶显示装置。像素，所述多个像素区域中是通过使用发送区域Tr用于在传输模式下显示使用光入射从第一基板（100A）侧在反射模式中的液体，和第二基板的光入射从（100B）侧并且第二基板100B具有形成在透射区域Tr和反射区域Rf中的滤色器层24。在反射区域Rf的至少一部分中的滤色器层24的厚度小于透射区域Tr中的滤色器层24的厚度。

- 1 - 1 指数方面 像素区域，透射区域，反射区域，滤色器层，

